

Abb. 1. Längen-Höhen- und Krümmungsverhältnisse der Wannseebahn.

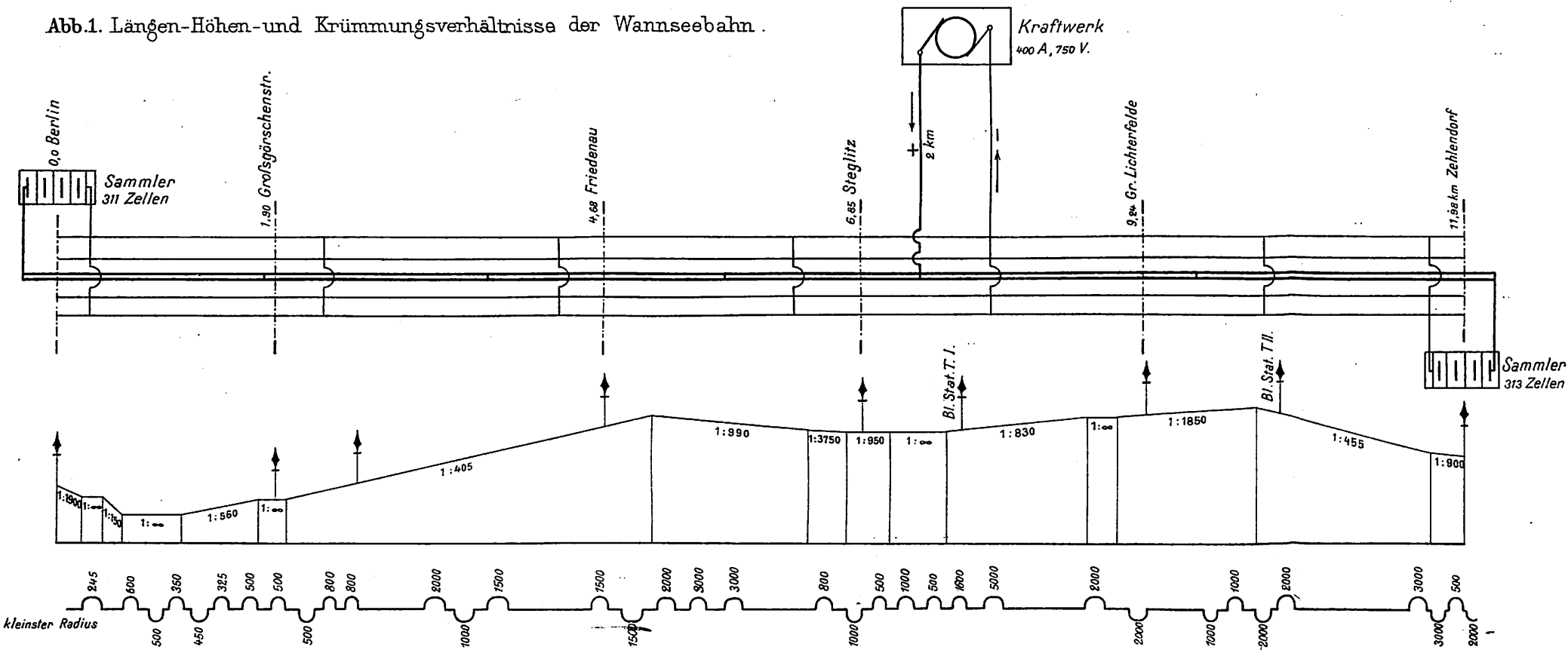


Abb. 2. Geschwindigkeitslinie bei schnellster Fahrt auf wagerechter Strecke.

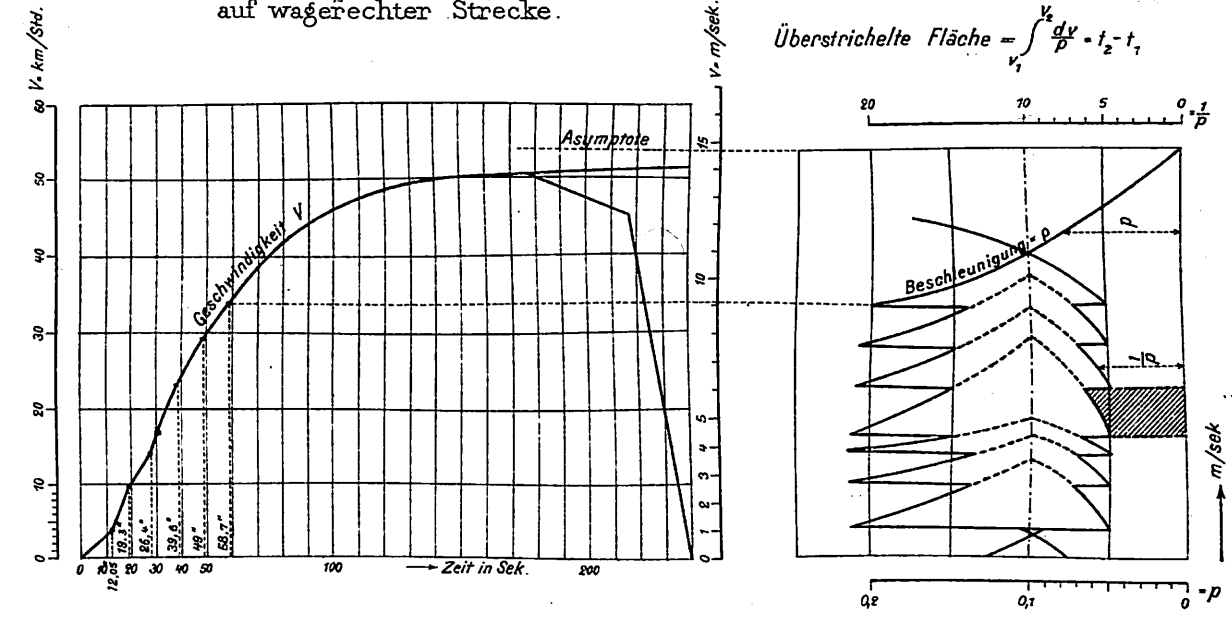
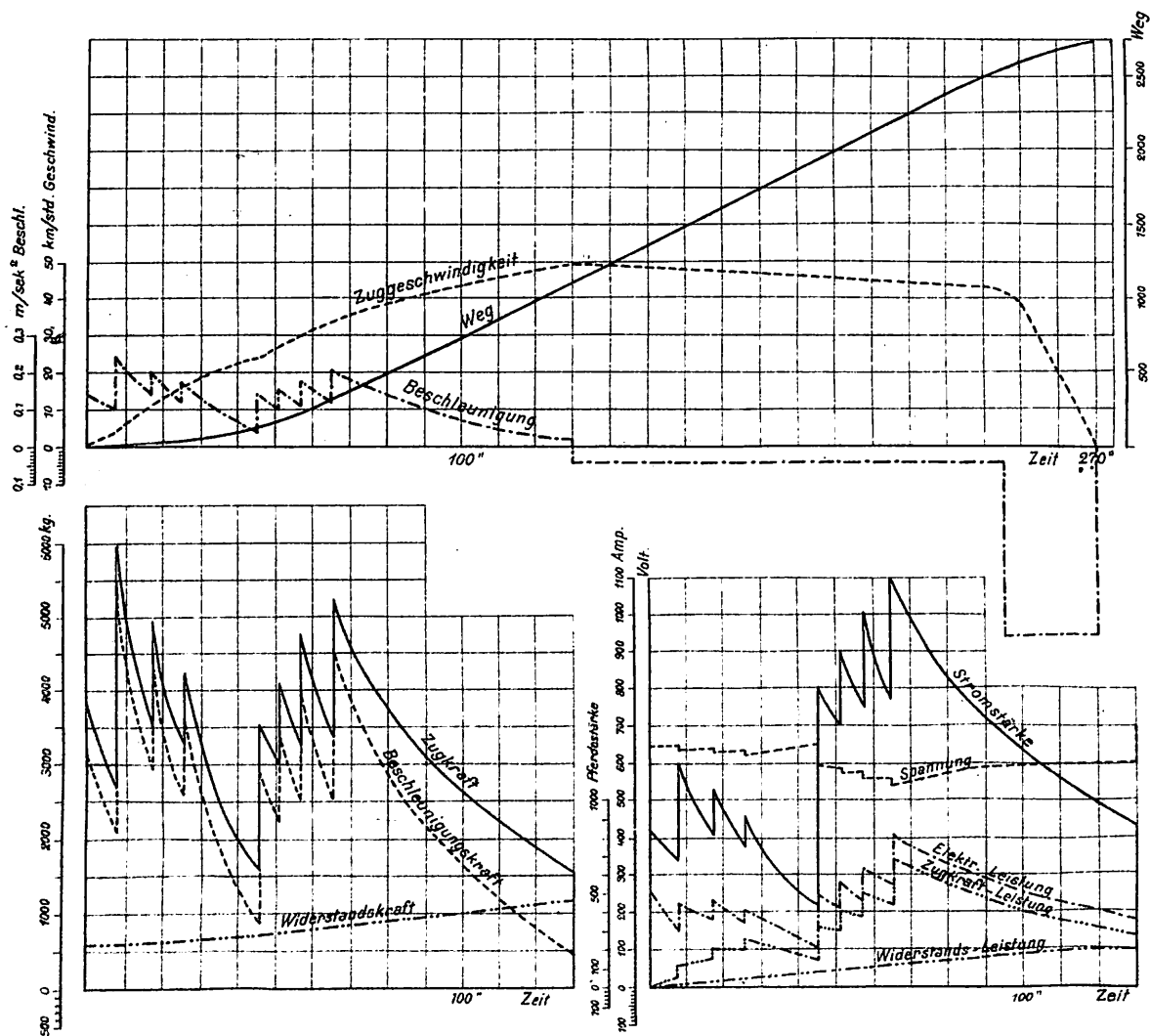


Abb. 3. Mechanische und elektrische Vorgänge am elektrischen Zuge während der Fahrt von Grofs-Lichterfelde nach Zehlendorf.



Elektrischer Betrieb auf der Wannseebahn zwischen Berlin und Zehlendorf.

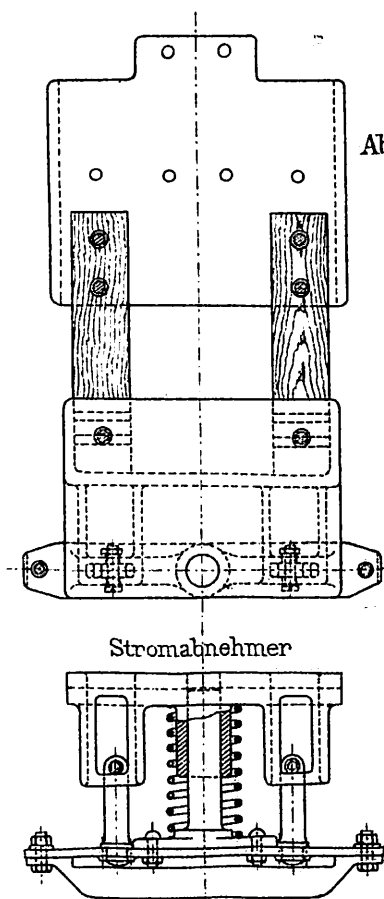
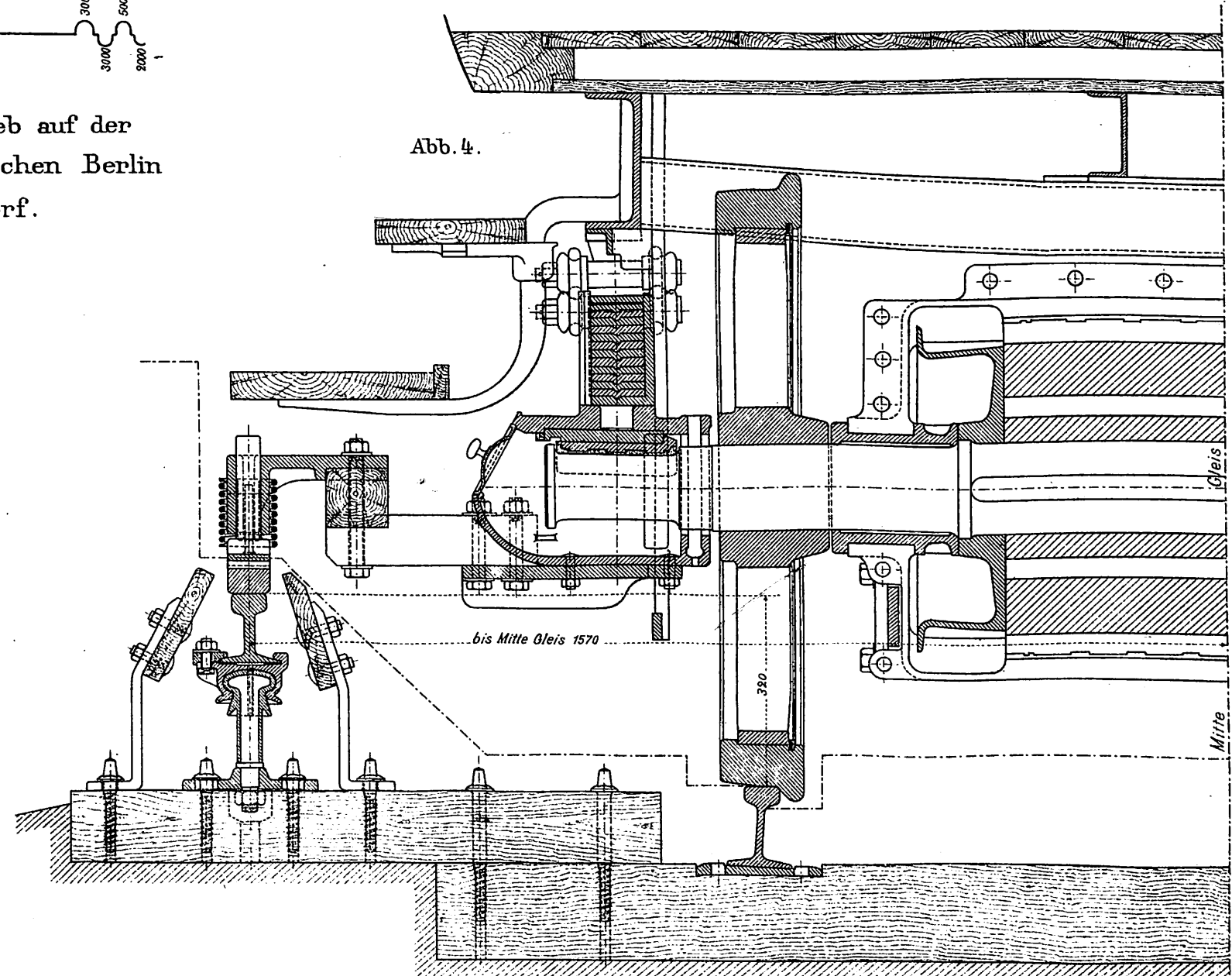


Abb. 5.

Abb. 4.



Ermittlung der Anfahrzeit.

Überstrichelte Fläche = $\int_{v_1}^{v_2} \frac{dv}{p} = t_2 - t_1$

Abb. 1-3. Triebwagen № 1.

Abb. 1. Längsschnitt.

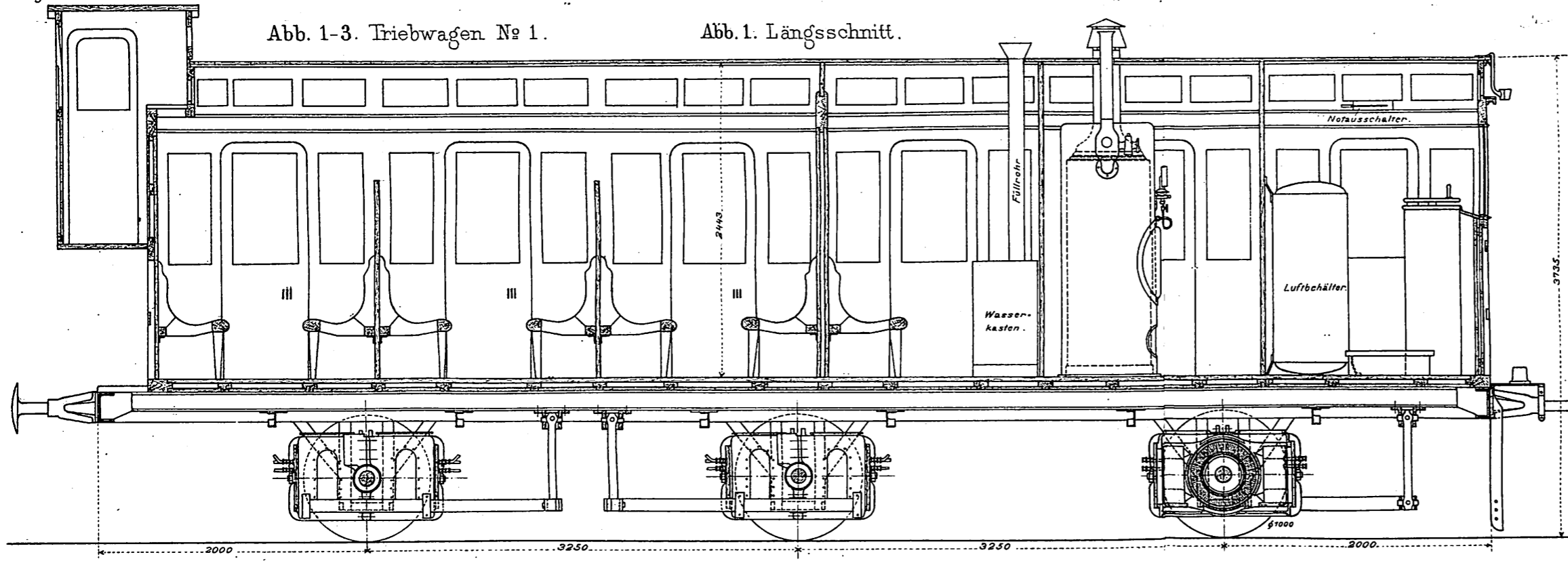
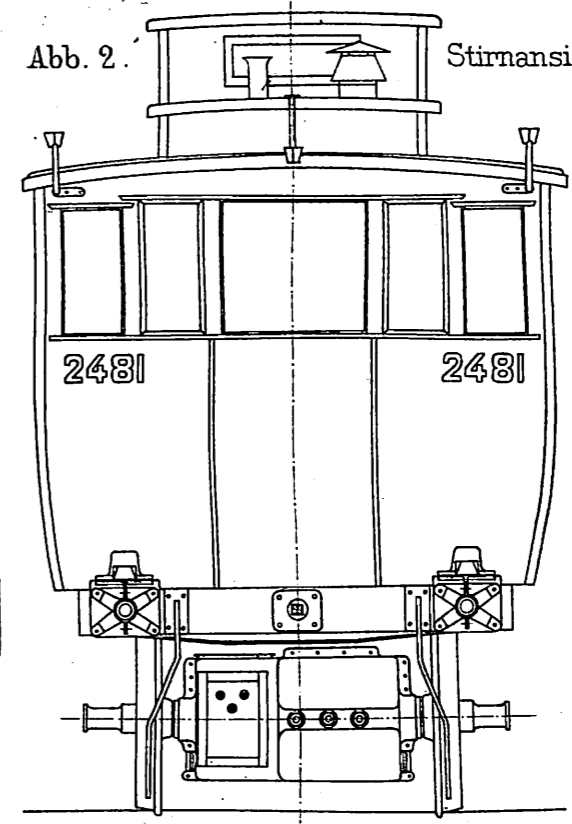


Abb. 2.

Stirnansicht.



Elektrischer
Betrieb
auf der
Wannseebahn
zwischen
Berlin und
Zehlendorf.

Abb. 3. Wagerechter Schnitt.

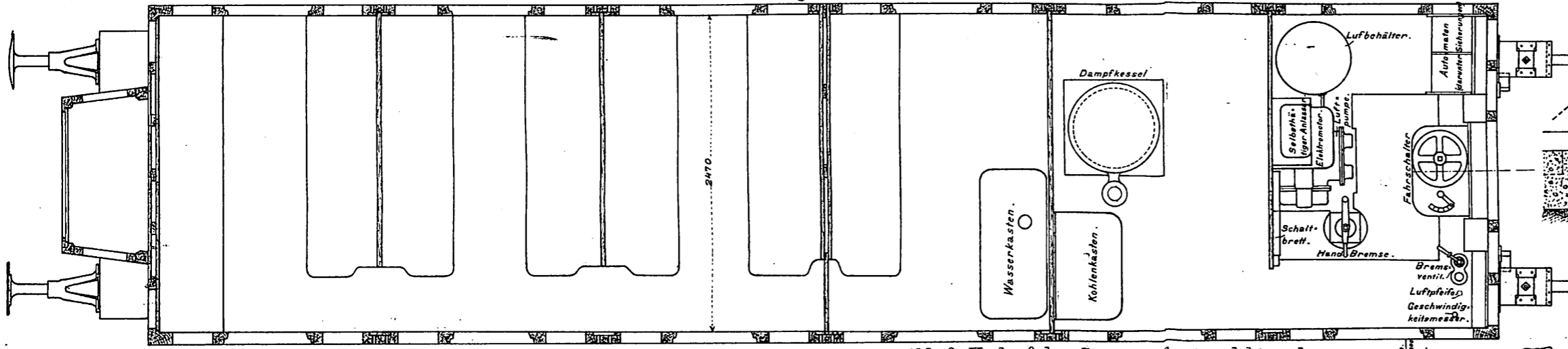


Abb. 4. Freie Strecke.

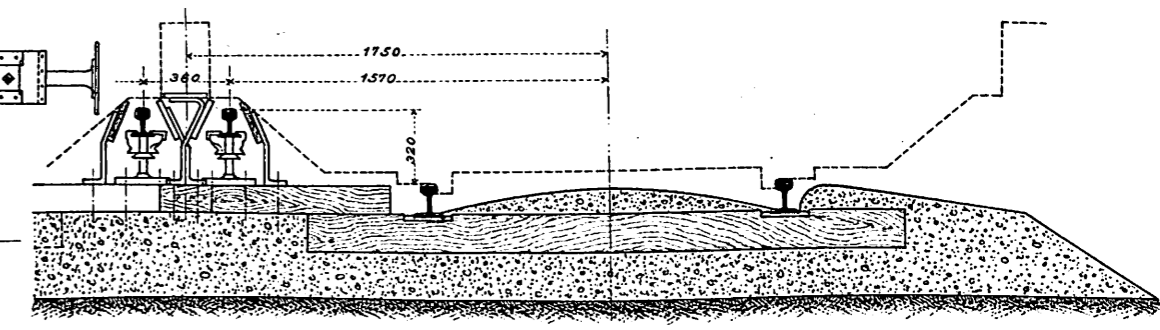


Abb. 7. Verlauf von Spannung und Stromstärke der Speicher-Batterie Zehlendorf während einer Hin- und Rückfahrt des Zuges.

Abb. 5. Verlauf der Stromstärke im Kraftwerk zu Groß-Lichterfelde während einer Hin- und Rückfahrt des Zuges.

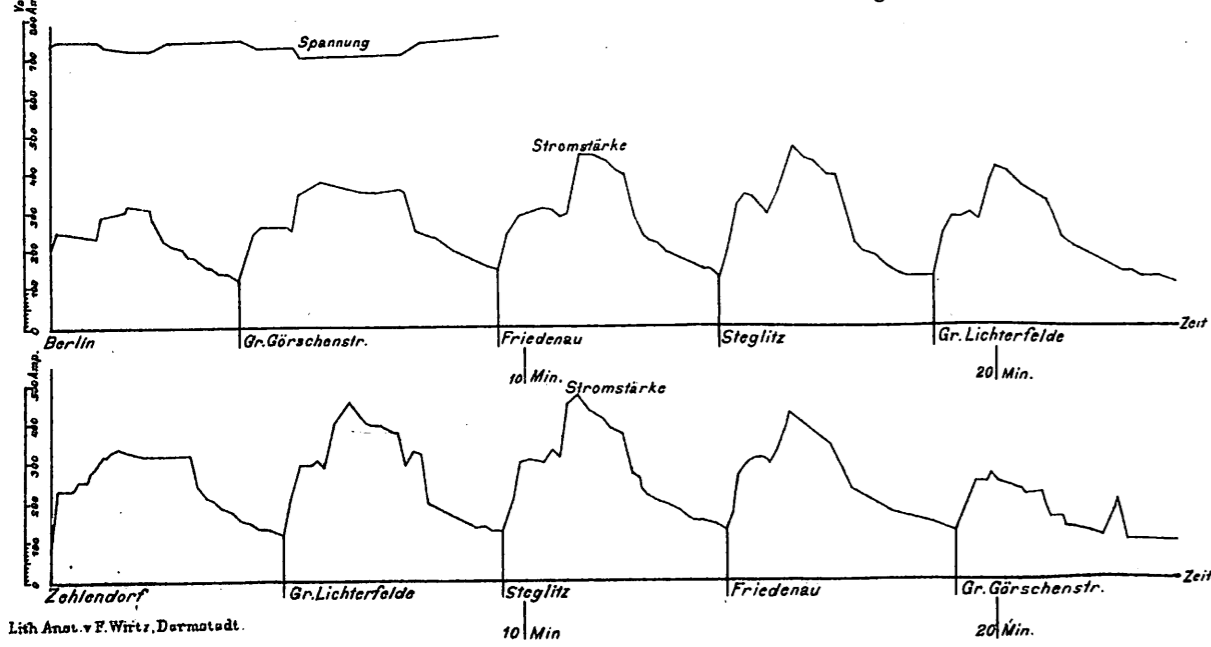
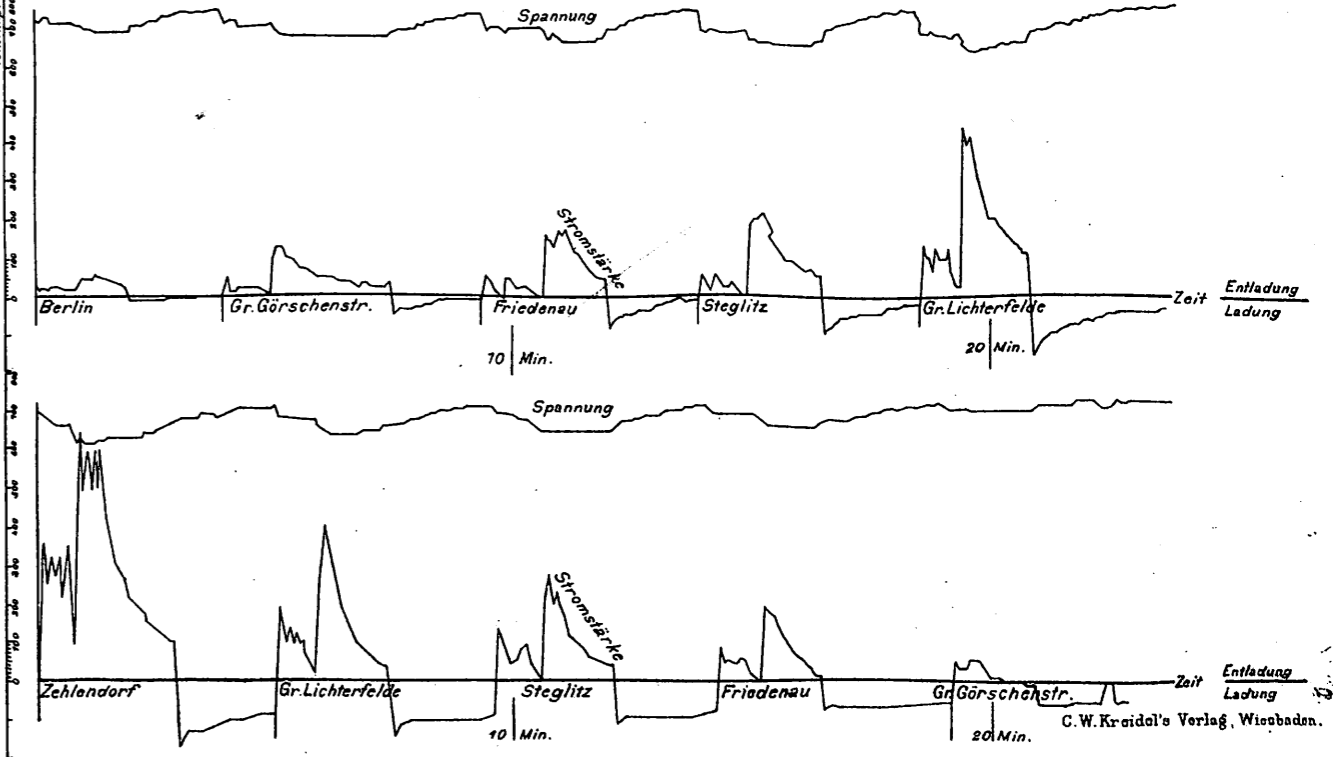
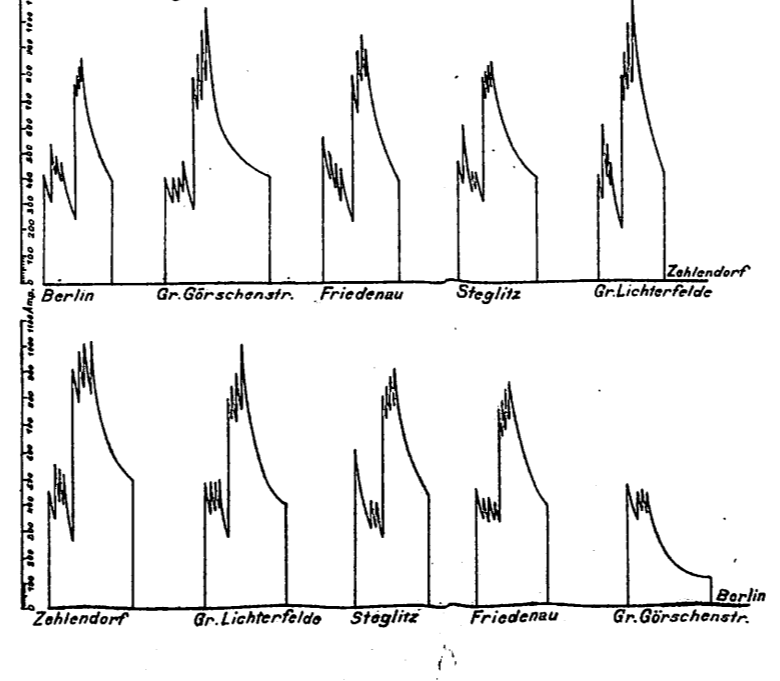
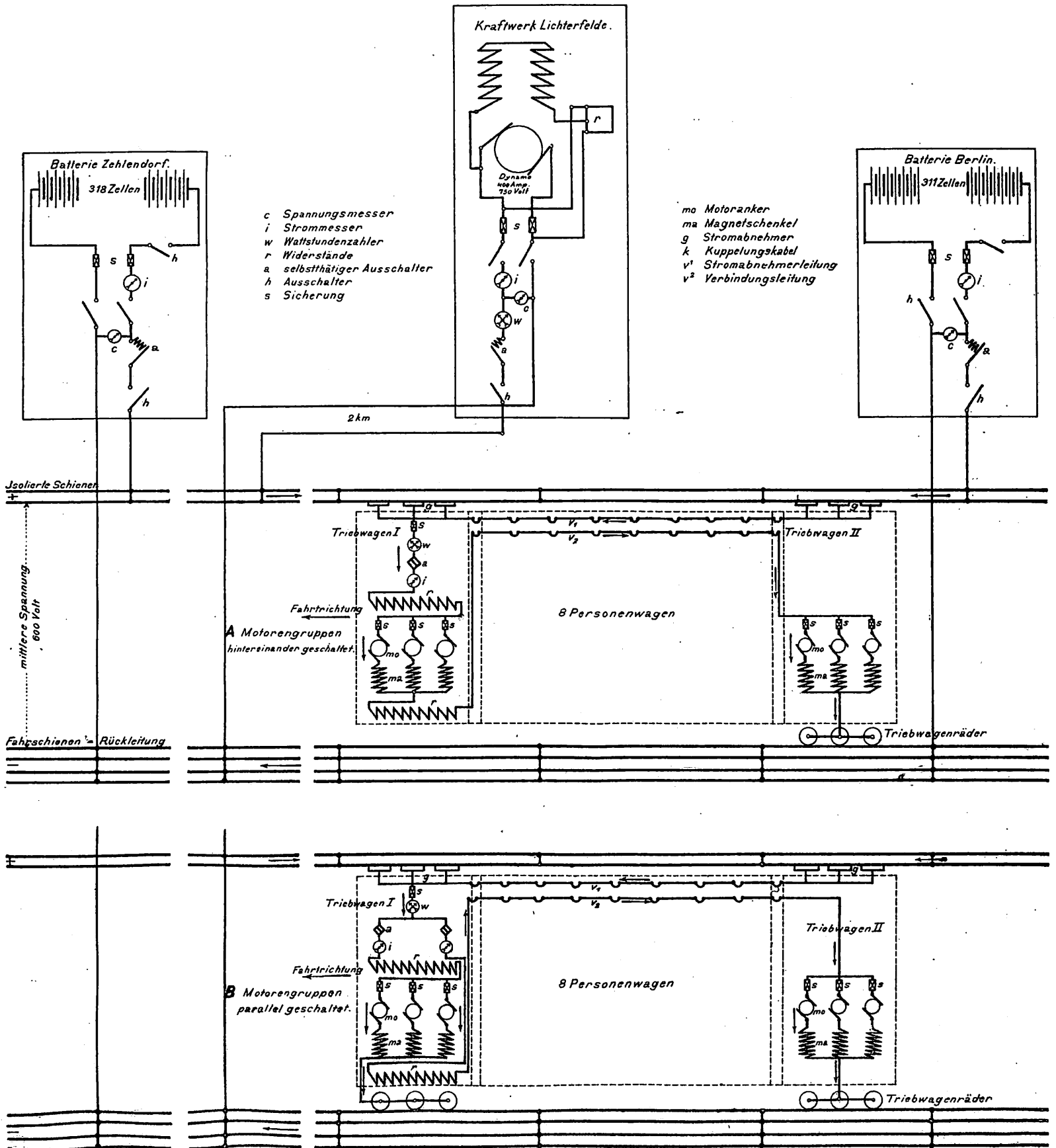


Abb. 6. Verlauf der Stromstärke im elektrischen Zuge während einer Hin- und Rückfahrt.



Elektrischer Betrieb auf der Wannseebahn zwischen Berlin und Zehlendorf.

Abb. 1.
Schaltung für die elektrische Zugförderung.



Elektrischer Betrieb auf der Wannseebahn zwischen Berlin und Zehlendorf.

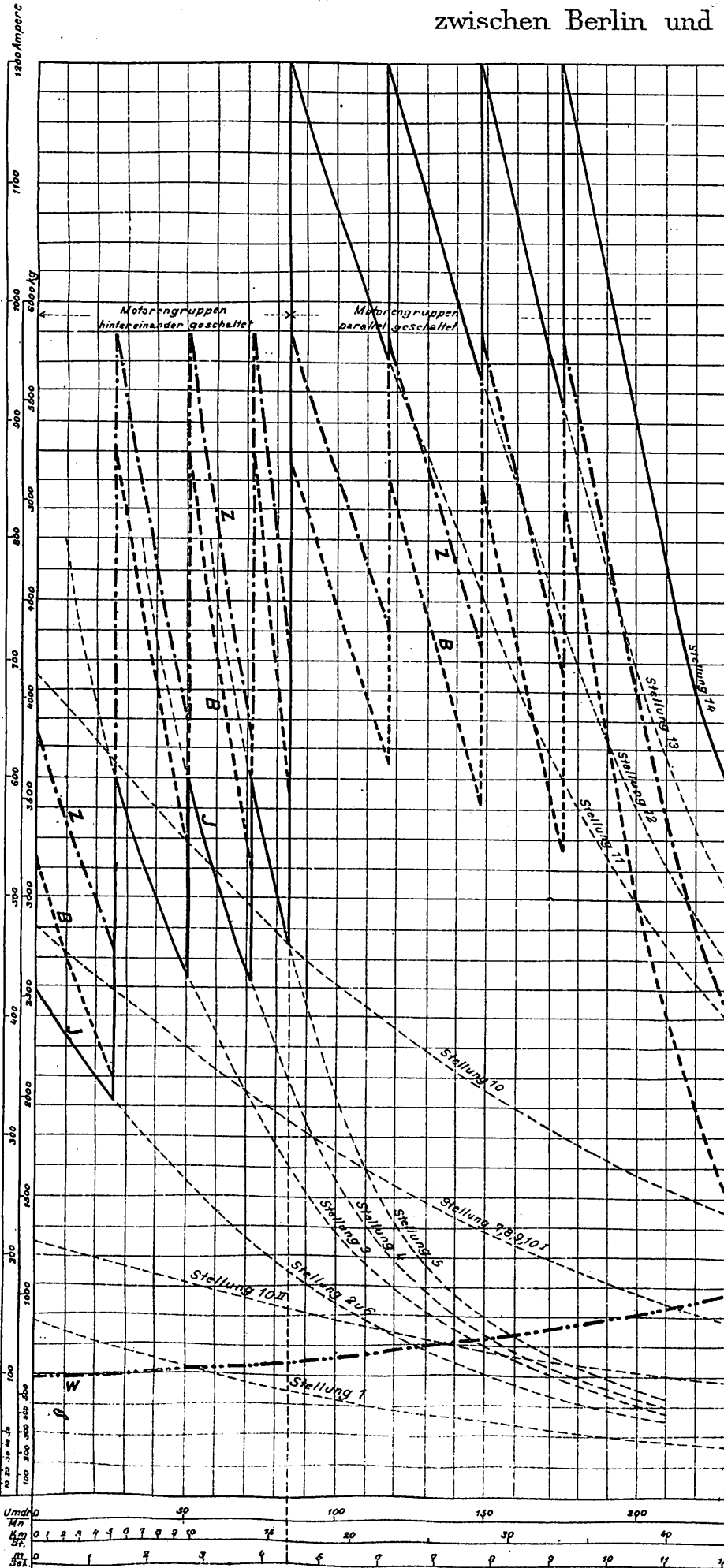


Abb. 1. Verhalten des Motors bei 600 Volt.

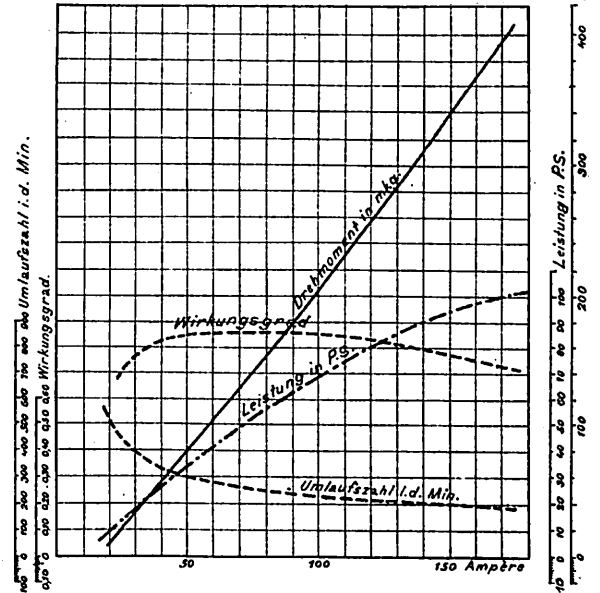


Abb. 2. Darstellung der günstigsten Anfahrverhältnisse für den elektrischen Zug der Wannseebahn

- Stromstärken entsprechend den Fahrschalterstellungen 1-14
- J Benutzte Stromstärken
- - - - Z Zugkraft in kg, ermittelt aus den Drehmomenten an den Motorachsen
- - - - B Beschleunigungskraft in kg.
- - - - W Zugwiderstände für 220t Zuggewicht